• 骨骼肌肉影像学•

放射性脊髓损伤的 MRI 诊断

夏黎明 王承缘

【摘要】 目的: 提高对放射性脊髓损伤 MRI 表现的认识与诊断水平。方法: 4例分别患鼻咽癌、纵隔淋巴瘤、食管癌及肺癌的患者,因放射治疗后 5~36 个月出现双下肢运动及感觉障碍而进行颈胸 段脊髓 MRI 检查。 结果: 脊髓病变在照 射野内,表现为稍长或长 T₁、长 T₂ 信号。注射 Gd-DTPA 后,病变不同程度强化。结论: 放射性脊髓损伤的 MRI 表现具有 一定的特征。

【关键词】 放射损伤 脊髓 磁共振成像

【中图分类号】R816.1 【文献标识码】A 【文章编号】1000-0313(2000)04025904

MIR diagnosis of radiation injury of spinal cord Xia Liming, Wang Chengyuan. Department of Radiology, Tongji Hospital of Tongji Medical University, Wuhan 430030

[Abstract] Objective: To improve the understanding about MRI findings of radiation injury of spinal cord. Methods: MR examinations of cervical and thoracic spine was performed in four cases with nasopharyngeal carcinoma, mediastinal lymphoma, esophageal carcinoma and pulmonary carcinoma after radiation for five to thirty-six months. Results: The MRI findings included: the lesions were limited in the radiation field, and demonstrated slightly long or long T₁ and long T₂ signal intensity, the lesions could be enhanced by Gd-DTPA. Condusions: MRI of radiation injury of spinal cord present some characteristic featrues.

[Key words] Radiation injuries Spinal cord Magnetic resonance imaging

放射性脊髓损伤是放射治疗后并发的一种少见而严重的并发症, 其发生率约为 0.8% ~ 3.51% [1]。 有关放射性脑损伤的影像诊断报道较多, 而放射性脊髓损伤的影像诊断, 国内外均仅见少数报道, 本文报道 4例分别因鼻咽癌、食管癌、肺癌及纵隔淋巴瘤而行放射治疗后并发脊髓损伤的 MRI 表现, 旨在提高对放射性脊髓损伤的 MRI 表现的认识与诊断。

材料与方法

1. 一般资料

从 1998 年 10 月~ 1999 年 12 月收集经临床与MRI 综合诊断的放射性脊髓损伤 4 例, 见表 1。

2. MRI 检查技术

使用 GE 1.5 Tesla signa Advantage 超导型 MR 扫描机,扫描方式与参数为: 颈椎,使用颈后线圈;方式: 矢状位 SE T₁WI, FSE T₂WI, 轴位 SE T₁W2, FSE T₂WI, 冠状位 SE T₁WI。参数: SE T₁WI TR/TE 340 ~ 500/13 ~ 15ms, T₂WITR/TE 3400~ 3800/100~ 102ms。采集次数 (Nex) 2~ 4次,矩阵 256×256,层厚 3~ 5mm,间距 1~ 1.5mm。胸椎使用胸腰线圈:其方式参数与颈椎相似。所有病人均行平扫加增强扫描,使用的造影剂为国产钆喷替酸葡甲胺(Gd-DTPA)剂量为0.1mmol/kg。

3. 图像观察: 观察病变部位、范围、信号强度、脊髓形态,注射 Gd DTPA 增强后,病灶强化程度、形态及在脊髓内的分布情况,此外要观察脊髓损伤周围的脊柱信号改变。

结 果

1. 脊髓损伤的 MRI 表现

颈段脊髓损伤 1 例, 胸段脊髓损伤 3 例, 均表现为稍长或长 T_1 、长 T_2 信号, 形态呈条片状。 2 例损伤范围较广泛, 强化显著, 脊髓轻度肿胀(图 1~3), 另 2 例病变较轻, 脊髓形态无异常。注射 G_4 DTPA 后, 病灶显著强化 2 例, 轻度强化 2 例。强化病灶位于脊髓边缘(白质内) 或以边缘为主(图 3~5), 强化病灶的形态于矢状位、冠状位上呈条、片状或结节状(图 2、3、6), 轴位上呈弧形或/和结节状(图 4、5), 强化的范围较 T_2 WI 图像上长 T_2 信号病变部位相吻合, 1 例不甚吻合, T_2 WI 图像上长 T_2 信号偏脊髓腹侧, 而强化病灶偏背侧(图 T、8)。

另外, 2 例年龄较大的(52 岁、62 岁) 及总剂量较高的患者, 病灶大, 强化显著, 另 2 例年龄较小(44 岁、18 岁) 及总剂量较低的患者, 病灶较小, 强化程度较轻。

- 2. 邻近脊柱 MRI 信号改变
- 4 例颈或胸椎照射野内的椎体 T₁WI 图像上的信

作者单位: 430030 武汉, 同济医科大学附属同济医院放射科作者简介: 夏黎明(1961~), 男, 湖北人, 副教授, 硕士, 主要从事胸部、神经影像诊断临床研究。

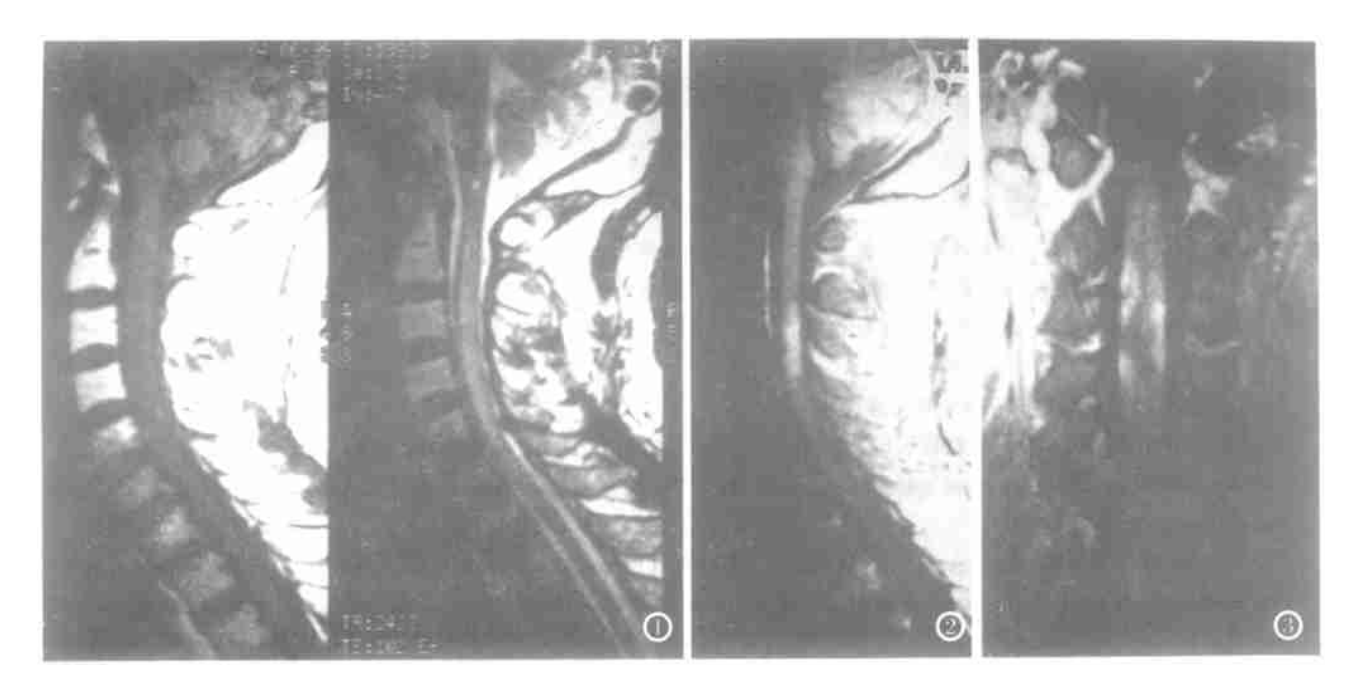


图 1 颈段脊髓放射性损伤: 右图为 T₂WI, 左图为 T₁WI, 示脊髓肿胀呈长 T₁、长 T₂信 号, 第 2~ 5 颈椎椎体呈短 T₁ 信 号。

- 图 2 同图 1 病例, 注射 Gd-DTPA 后, 病变显著片状强化。
- 图 3 同图 1、2 病例, 冠状位增强, 示强化病灶, 主要分布在两侧边缘区, 病灶呈条片状强化。

AND THE PROPERTY OF THE PROPER						
性别	年龄	放疗病因	放射总剂量	放射分次剂量	潜伏期	临床表现
	(岁)		(CGY)	(Cgy)	(月)	
男	62	鼻咽癌	7200	180	5	双下肢无力,排尿困难,缓慢进行性加重
男	52	食管癌	5400	180	36	双下肢无力,下半身感觉减退
女	44	肺癌	5000	200	5	双下肢乏力、麻
女	18	纵隔淋巴瘤	5000	200	11	右下肢乏力, 左下肢麻

表 1 4 例放射性脊髓损伤的临床资料

号较非照射区域椎体信号强度增高, 其程度不同; 年龄越大, 照射总剂量越高, 其椎体信号改变越明显(图1), 年龄越小, 照射总剂量越低, 其椎体信号改变越不明显(图7)。

讨论

1. 放射性脊髓损伤的发病机理

关于放射性脊髓损伤的发病机理,有多种观点目前尚无定论,较普遍的被大家认可的观点有如下几方面^[2~4]。①外照射直接损伤脊髓组织,②脊髓供血血管损伤引起缺血性改变,导致脊髓缺血性坏死,③静脉内皮损伤,导致静脉闭塞,结果使局部渗出、出血、坏死等,④机体对放射损伤产生变态反应,因脊髓出现过敏性脱髓鞘改变及细胞团块状坏死。以前两方面的因素为主要原因。也有观点认为^[5]:晚期的脊髓损伤不是由于对神经细胞的直接作用,而是对靶细胞群的损伤,最可能的靶细胞群是胶质细胞群和内皮细胞群,胶质

细胞群受损后, 白质和神经根就会发生节段性脱水髓。 如果照射, 胶质细胞的减少达不到一定的水平, 则血管 损伤引起的放射性脊髓损伤的可能性就增加。

2. 放射性脊髓损伤的病理基础

放射性脊髓损伤主要累及白质, 依不同的阶段及损伤的程度不同而表现有所差异, 肉眼脊髓肿胀、变软, 切面蝴蝶形结构消失或淡黄色, 质地较硬, 切面干燥。镜下见局灶性凝固坏死和神经纤维脱髓鞘改变为其主要特征, 也可见组织溶解液化、坏死、空泡变, 神经细胞和胶质细胞变性、固缩和消失。毛细血管明显增多, 管壁增厚, 呈玻璃样变性, 管腔闭塞, 周围有陈旧性出血, 胶质瘢痕形成和少量炎性细胞浸润, 病灶周边组织有水肿, 神经纤维脱髓鞘和胶质增生等改变^[3,6]。上述神经纤维脱髓鞘, 组织溶解液化及水肿形成了MRI长T₁长T₂信号的病理基础。血脑屏障的破坏,毛细血管增多是 GA-DTPA 增强的病理基础^[7]。另外有作者观察病变主要累及脊髓侧索、后索、后角、脊髓





图4 胸段脊髓放射性损伤,轴位注射 Cd-DIPA 后,示脊髓前缘呈弧形及结节状强化。 图5 同图 1~3病例,轴位增强,示脊髓两侧边缘呈结节状及弧形强化。

丘脑侧束、锥体束, 甚至波及邻近灰质的前角细胞^[3], 因此 MRI 表现病灶主要位于脊髓边缘或以边缘为主。

3. 放射性脊髓损伤的 MRI 表现及诊断要点

本组报道的病例虽然只有 4 例, 不足以总结其 MRI 表现特点, 但通过 4 例的 MRI 表现归纳如下几点, 有助于对本病 MRI 表现的认识和诊断:

①脊髓损伤部位: 均发生在放射照射野内, 后者可通过椎体 MRI 信号改变加以证实, 受照射的椎体因弥漫性脂肪浸润而呈短 Ti 信号改变^[8]。

②脊髓形态: 脊髓稍肿胀或无形态改变, 2 例病变较广泛的患者, 脊髓肿胀, 另 2 例损伤较轻, 病灶小的患者脊髓增粗不明显。未见脊髓萎缩现象。

③病变的信号改变: 病变呈稍长或长 T_1 、长 T_2 信号,注射 GL DTPA 后病变范围大的强化明显,病灶小的强化程度较轻, 3 例强化灶与长 T_2 信号区部位一致, 1 例不一致, 说明病灶强化的机理是多种的。

④病变的形状及累及的部位, 以 T_2WI 像和增强扫描显示较好, 冠、矢状面, 病变呈条、片状或/ 和结节状, 与脊髓平行, 轴位呈弧形或/ 和结节状, 病变累及主要为边缘区或伴有灰质的累及, 这与白质损害为主的病理基础是相符合的。

4. 放射性脊髓损伤的 MRI 鉴别诊断

多数作者认为本病 MRI 表现无特异性、诊断困难^[7,9,10], 也有作者认为本病的 MRI 表现具有一定特征^[11], 本病主要与脊髓肿瘤及脊髓炎鉴别, 其鉴别要点如下:

①有无放疗史及病变部位: 放射性脊髓损伤一定







图 6 胸段脊髓放射性损伤,冠状位增强,示病灶呈条状及结节强化。

图 7 胸段脊髓损伤, 右图为 T₂WI, 左图为 T₁WI, 示脊髓稍长 T₁、长 T₂信 号, 脊髓无明显增粗, 脊柱呈稍短 T₁信 号改变。

图 8 同图 7 病例, 矢状位增强, 示脊髓小片状强化, 范围较 T_2WI 图像小, 强化灶主要位于背侧。强化程度较轻。

© 1994-2012 China Academic Journal Electronic Publishing House. All rights reserved. http://www.cnki.net

有放射照射的病史, 其损伤的部位位于照射野内, 而脊髓肿瘤和炎症, 可无放疗史, 也可发生在非照射野内。

- ②脊髓形态: 放射性脊髓损伤脊髓轻度增粗或增粗不明显, 病变范围较局限, 脊髓肿瘤时脊髓常显著增粗; 范围一般较长, 脊髓炎时脊髓一般轻度增粗; 病变范围可长可短。
- ③病变形态: 放射性损害, 病灶多呈长、条片状, 肿瘤多呈结节状或与脊髓形态一致, 脊髓炎多呈小片状。
- ④注射 G4 DTPA 后改变,放射性损害病灶多呈条片状、小结节及弧形强化,肿瘤多呈大结节状或环形、不规则强化。脊髓炎多呈片状强化、或不强化。
- ⑤病变累及的部位,放射性损伤病灶主要位于白质或以白质为主,脊髓肿瘤常累及整个断面的脊髓。 脊髓炎可发生于白质或灰质内。
- ⑥放射性损伤病灶症状呈渐进性,上行性发展,最后体征检查平面与脊髓损害平面一致,脊髓炎发病突然,症状较重,肿瘤发病也较急。
- ⑦其它: 有作者认为正电子发射体层成像(PET) 可鉴别脊髓放射性损伤与肿瘤, 前者代谢低下, 后者代谢活跃[12], 也有作者认为动态 MRI 能区别肿瘤与放射性损害, 前者早期强化, 后者延迟强化[13]。

参考文献

1 谷锐之, 殷蔚伯, 刘泰福,等. 肿瘤放射性治疗学[M]. 北京: 北京医科 大学中国协和医科大学联合出版社, 1993. 493-509.

- 2 孔琳, 张有望. 鼻咽癌放射治疗后神经系统后遗症[J]. 中华放射肿瘤 杂志, 1999, 8(3): 181-183.
- 3 谷锐之, 殷蔚伯, 刘泰福,等. 肿瘤放射性治疗学[M]. 北京: 北京医科大学中国协和医科大学联合出版社. 1993. 472-479.
- 4 Gaensler EH, Dillon WP, Edwards MS, et al. Radiation induced telangiec tasia in the brain simulates cryptic vascularma formation at MR imaging J]. Radidogy, 1994, 193–629-636.
- 5 谷锐之, 殷蔚伯, 刘泰福,等. 肿瘤放射性治疗学[M]. 北京: 北京医科大学中国协和医科大学联合出版社, 1993, 242-252.
- 6 陈忠年,沈铭昌,郭慕依.实用外科病理学[M].上海:上海医科大学出版社,1997.622.
- 7 Grossman RI, Hecht-leavitt CM, Evans SM, et al. Experimental radiation injure: combined MR imaging and spectroscopy[J]. Radiology, 1988, 169: 305-309
- 8 李小明, 王承缘, 周义成. 放疗后脊柱 MRI 表现[J]. 临床放射学杂志, 1998, 17(5): 291-293.
- 9 Doms GC, Necht S, Brant-Zawadzki M, et al. Brain radiation lesions MR imaging [J]. Radiology, 1986, 158-149-155.
- 10 Deter EV, William PD. Radiation injury of brain[J]. AJR, 1991, 156 689-706.
- 11 王学键, 魏渝清, 曹建初, 等. 放射性脑脊髓坏死的 MRI 诊断[J]. 中华放射学杂志, 1999, 33(1): 754-757.
- 12 Dichiro G, Oldfield E, Wright DC, et al. Cerebral necrosis after radiotherapy and/or intraoarterial chemotherapy for main tumors: PET and neuropatholegie studies[J]. AJR, 1998, 150. 1189-1197.
- 13 Schwart RB, Hsu L, Kacher DF, et al. Imtraoperative dynamie imaging localization of sites brain tumor recure ece ofter high-dose radiotherapy [J]. Imagn Reson Imaging, 1998, 8 1085-1089.

(2000-01-21 收稿)

• 外刊摘要•

纤维板层样肝细胞肝癌(FLHCC)31 例成像及病理发现

T. Ichikawa, M. P. Federle, L. Grazioli, et al

【中图分类号】R735.7,R730.44 【文献标识码】D 【文章编号】10000313(2000)04026201

本文回顾性分析了 31 例经组织学证实的纤维板 层型肝癌 的临床病理及术前影像诊断。31 例均行 CT 动态增强扫描,21 例行螺旋 CT 多期扫描,11 例行 MR 检查。11 例行病灶完整切除,并行影像与病理对照分析。

结果 大肿瘤平均直径 13 cm, CT 及 MR 均能显示。CT 上 24/31 例(77%) 肿瘤边界清楚, 21 例(68%) 显示钙化, 22 例(71%) 显示中央性瘢痕, 20 例(65%) 显示腹部淋巴结肿大。25 例动脉期 CT 扫描患者中 20 例(80%), 肿瘤强化不均匀并显示

富血管区。在 MRI, 11 例在 T_1WI 呈低信号, 10 例 T_2WI 呈高信号; 钙化在 MR 上未被显示, 但中央瘢痕显示为低信号灶(9 例)。

结论 CT 及MR 能显示 FLHCC 的影像特征,并作出可靠的诊断。

同济医科大学附属同济医院 李小明 译 郭俊渊 校 摘自 Radiology, 1999, 213 352-361

(2000-01-31 收稿)